

parcialmente perlita. La medición de edad se realizó mediante el método de K-Ar, obteniéndose 11.8 ± 0.3 , 6.8 ± 0.4 Ma (mioceno).

【Basaltos del Cuaternario】

Se distribuye ampliamente hacia el noroeste y estrechamente hacia el sudoeste del sector. La litofacie presenta basaltos de coloración negra y roca piroclástica símiles.

2-5-2 Alteraciones

En la ocurrencia El Playon se verifica la silicificación (cuarzo) y argilización (sericita, caolinita).

En la ocurrencia Coyolito se verifica la silicificación (cuarzo) y argilización (caolinita, halloysita, sericita).

En la ocurrencia Tepanguara se verifica la silicificación (cuarzo) y argilización (sericita).

En la ocurrencia Mina de Marin se verifica la silicificación (cuarzo, cristobalita) y argilización (caolinita, smectita).

En la ocurrencia Chanton se verifica la silicificación (cuarzo) y argilización (sericita, parcialmente caolinita, halloysita).

2-5-3 Mineralizaciones

En el sector existen seis ocurrencias: El Playon, Coyolito, Tepanguara, Mina de Marin, Chanton y Guangolo.

El Playon es un yacimiento de tipo bolsón originado en el Grupo Padre Miguel. Los minerales son de plata, plomo y zinc (ver Cuadro II-4), presentándose en forma de piritita y marcasita de acuerdo a la observación de secciones pulidas de minerales y trazas de galena. La máxima ley de plomo verificada con los análisis químicos fue 8,060ppm, zinc 4.42% y plata un relativo valor bajo de 27.2ppm.

Coyolito es un yacimiento de tipo bolsón originado en la Formación Valle de Angeles. Los minerales son de antimonio (ver Cuadro II-4), presentándose en forma de estibina, sin embargo, en el presente estudio no se pudo comprobar su existencia. La máxima ley de antimonio verificada con los análisis químicos fue 122ppm, asimismo los valores de oro, plata, cobre, plomo y zinc resultaron bajos.

Tepanguara es una mina que fue explotada activamente en el pasado, verificándose una bocamina de galería y dos de piques, sin embargo, sólo es accesible en uno de los piques. Es un yacimiento vetiforme originado en la Formación Valle de Angeles. Los minerales son de plata (ver Cuadro II-4), presentándose en forma de piritita, marcasita, calcopiritita, calcocita y covelina de

acuerdo a la observación de secciones pulidas de minerales. La máxima ley de plata verificada con los análisis químicos fue 463ppm. Además, los valores máximos de plomo y zinc son respectivamente 1.44% y 472ppm. Los resultados de medición de inclusiones fluidas resultaron: temperatura de homogenización promedio de 267°C y concentración de sales promedio de 3.7% en peso.

Mina Marín, de acuerdo a la información existente es un yacimiento polimetálico de estructura desconocida. En el sitio se verifica una galería, sin derrumbe de aproximadamente 5m de longitud, excavada en roca piroclástica ácida silicificada perteneciente al Grupo Padre Miguel. La galería permite el acceso ya que no se ha producido el derrumbe, sin embargo, no se observa minerales ni vetas de cuarzo. De los resultados del análisis químico se tienen que los valores son bajos en oro, plata, cobre, antimonio (máximo 58ppm) y zinc (ver Cuadro II-4).

Chanton, de acuerdo a la información existente, es un yacimiento vetiforme de oro. La mina fue explotada activamente en el pasado, verificándose 4 galerías y 2 piques. De ellos 2 galerías son accesibles, y en una de éstas se observa derrumbe en el fondo, siendo accesible hasta 15m. En la otra de 24m de longitud no hay presencia de derrumbes. De la observación del interior y sus afloramientos se infiere que las galerías han sido excavadas en roca piroclástica ácida silicificada perteneciente al Grupo Padre Miguel, y no hay presencia de vetas de cuarzo ni minerales. En la ganga se observa ligeramente vetas de cuarzo, sin embargo no se observa presencia de minerales. La máxima ley de plata verificada con los análisis químicos sobre una muestra fue 35ppb. Asimismo, los valores de oro, cobre, plomo, antimonio y zinc son bajos (ver Cuadro II-4).

Guangololo, de acuerdo a la información existente, es un yacimiento de oro de morfología desconocida. En el sitio, no se pudo verificar la existencia de minerales, vetas de cuarzo, ganga, galerías ni trincheras, siendo desconocido los detalles.

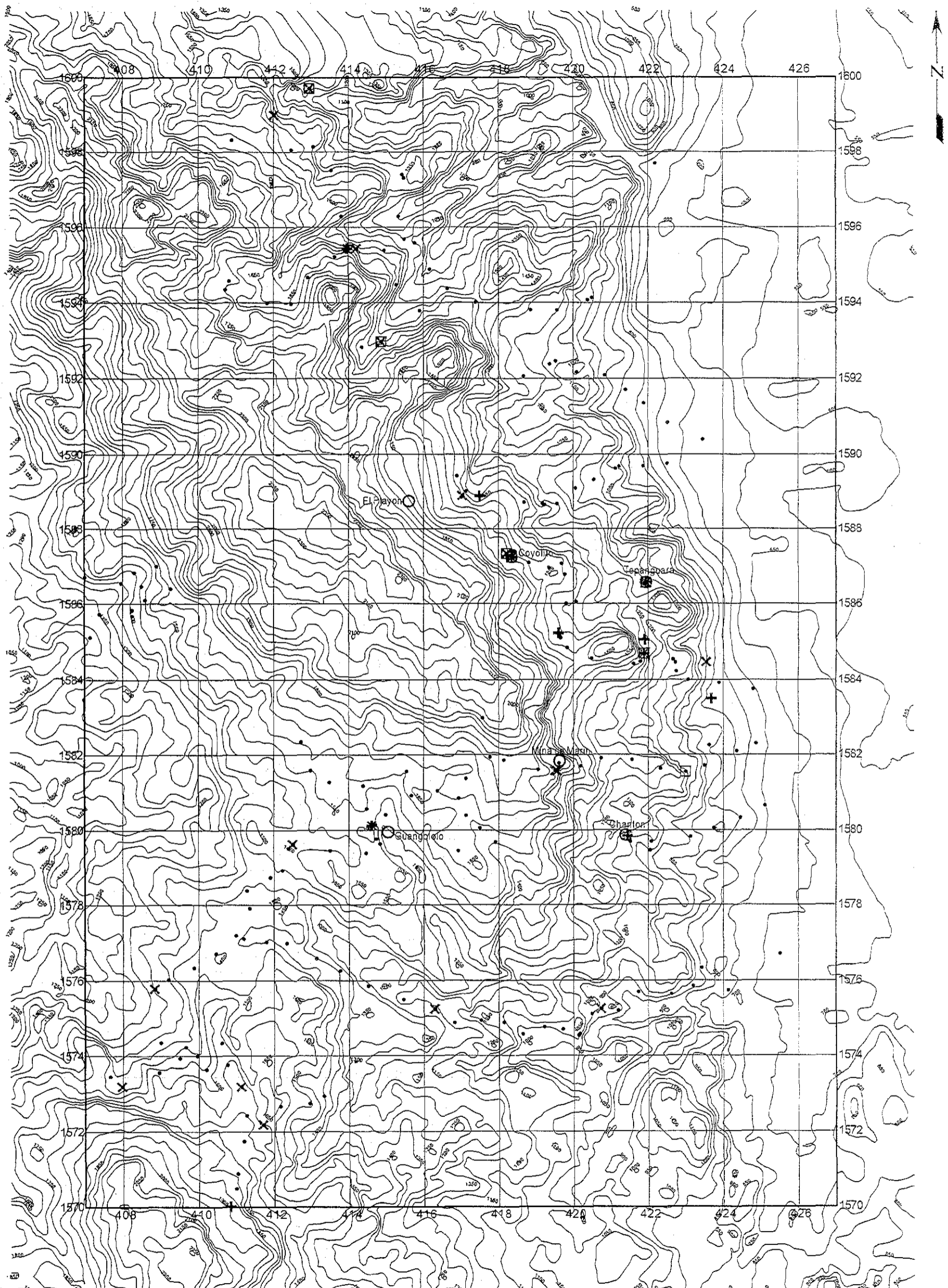
2-5-4 Resultados de Prospección Geoquímica

[Rocas] (Figuras II-29, 30)

En la Figura II-29 se muestra las distribuciones de anomalías. En la figura aparece el agrupamiento de las anomalías geoquímicas. En el Cuadro II-5 se muestra las condiciones en que aparecen las anomalías en estas zonas anómalas, asimismo, las condiciones en que aparecen las anomalías sobre las ocurrencias que se registran en la información existente. Además, en el cuadro se muestra los valores máximos de los parámetros de análisis (Figura II-30) de los principales elementos (los detalles se citan más adelante) en las zonas anómalas.

[Alveos] (Figuras II-31, 32)

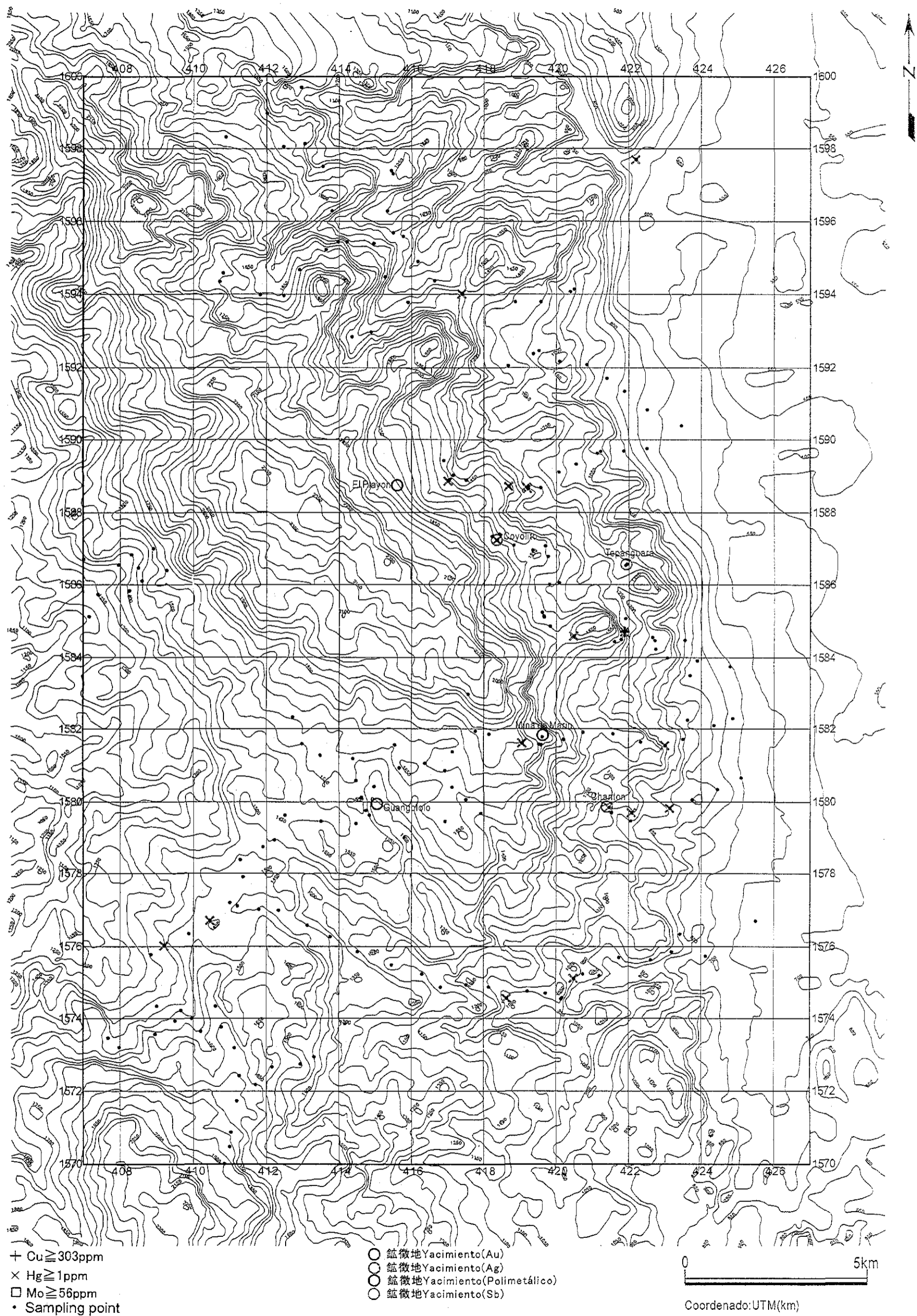
En la Figura II-31 se muestra las distribuciones de anomalías. En la zona de anomalías



- + Au ≥ 5 ppb
- × Ag ≥ 0.2 ppm
- As ≥ 75 ppm
- Sampling point
- 鉍微地 Yacimiento(Au)
- 鉍微地 Yacimiento(Ag)
- 鉍微地 Yacimiento(Polimetálico)
- 鉍微地 Yacimiento(Sb)

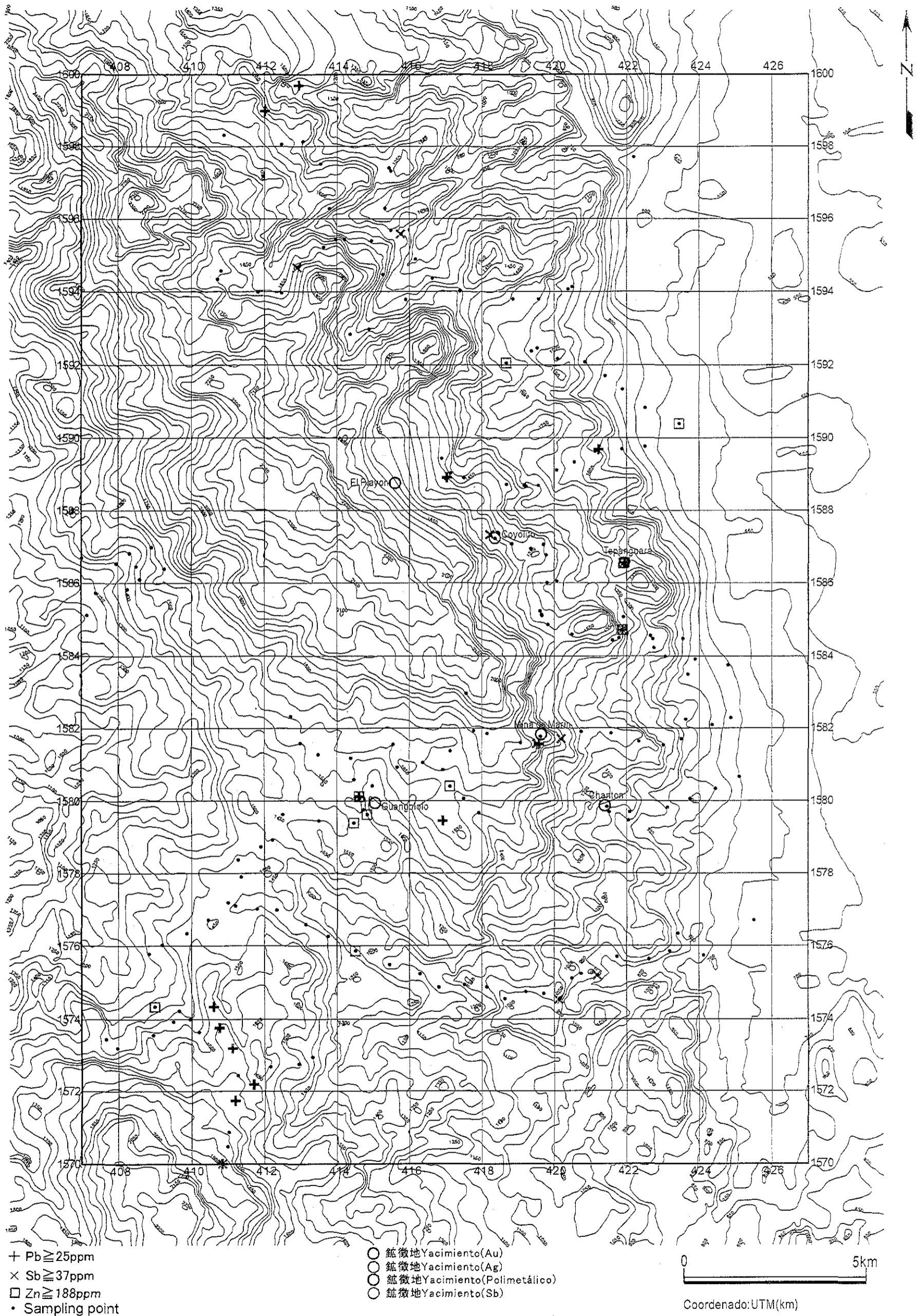
0 5km
 Coordenado: UTM(km)

第 II-29-1 圖 Comayagua 地区岩石地化探異常值分布圖 (Au, Ag, As)
 Figura II-29-1 Distribución de Anomalías Geoquímicas en Rocas del Sector Comayagua (Au, Ag, As)



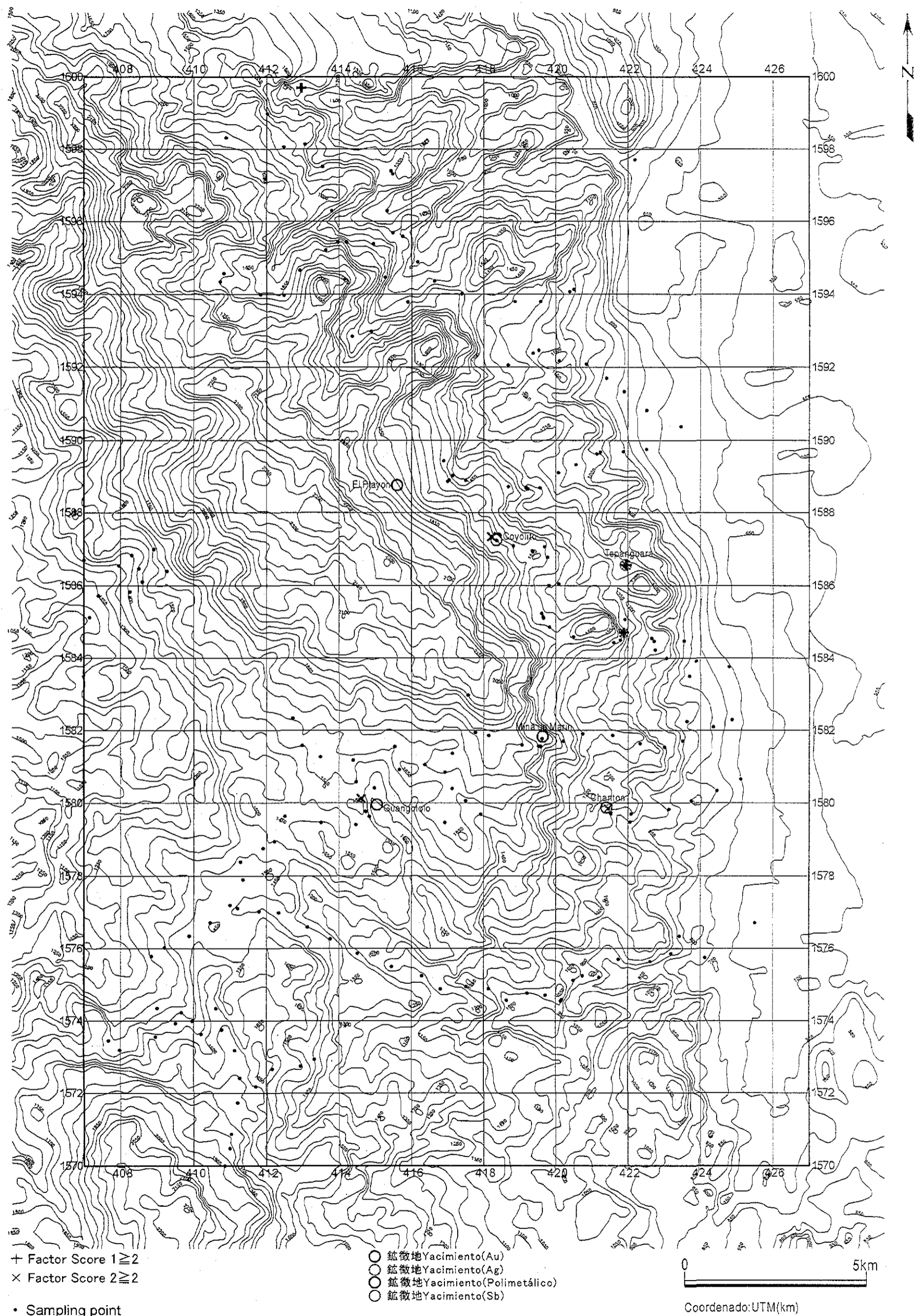
第II-29-2图 Comayagua地区岩石地化探异常值分布图(Cu, Hg, Mo)

Figura II-29-2 Distribución de Anomalías Geoquímicas en Rocas del Sector Comayagua(Cu, Hg, Mo)



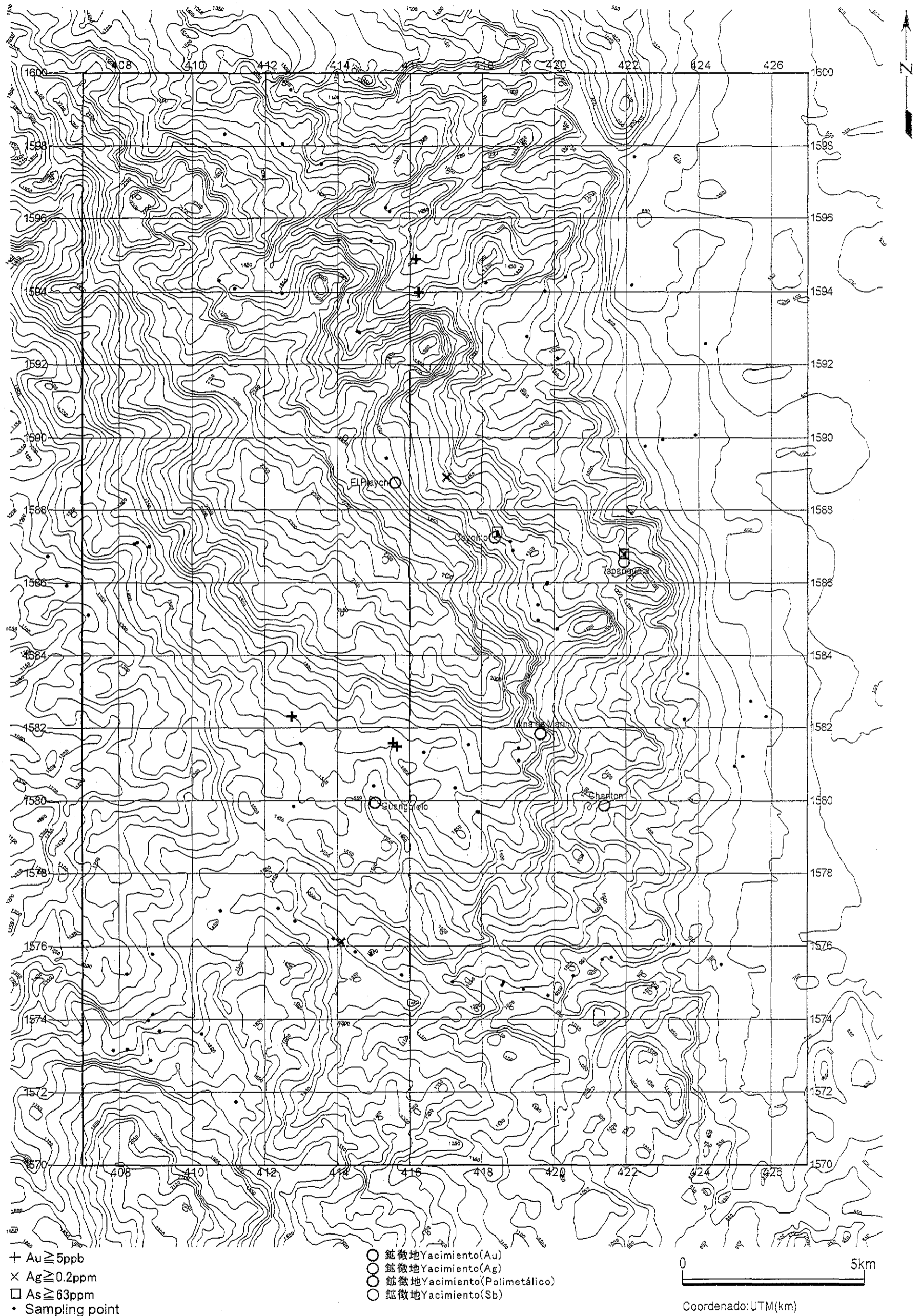
第 II-29-3 图 Comayagua地区岩石地化探异常值分布图(Pb, Sb, Zn)

Figura II-29-3 Distribución de Anomalías Geoquímicas en Rocas del Sector Comayagua (Pb, Sb, Zn)



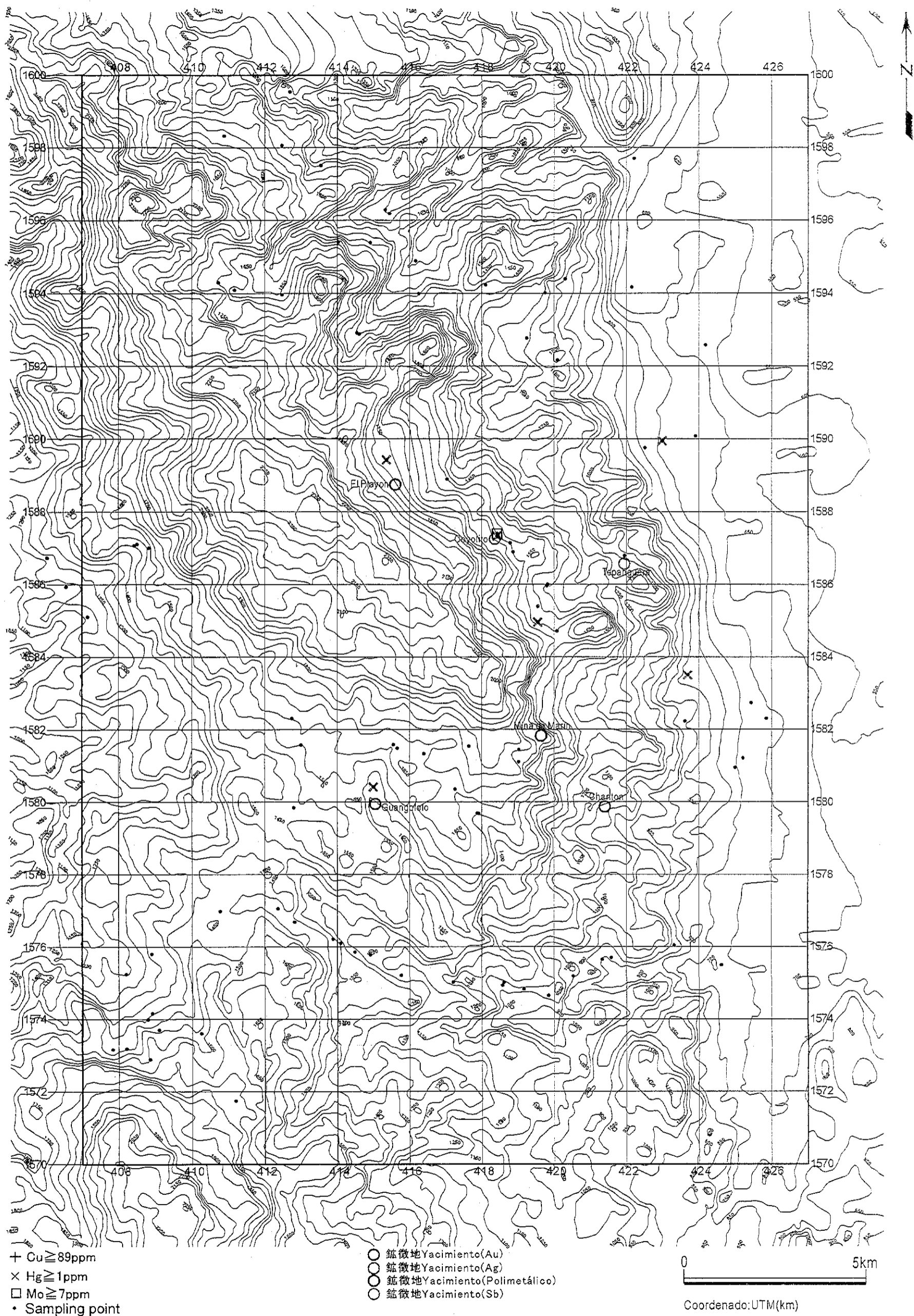
第 II-30 图 Comayagua地区岩石地化探因子得点分布图

Figura II-30 Distribución del Factores de Puntuaciones de Rocas del Sector Comayagua



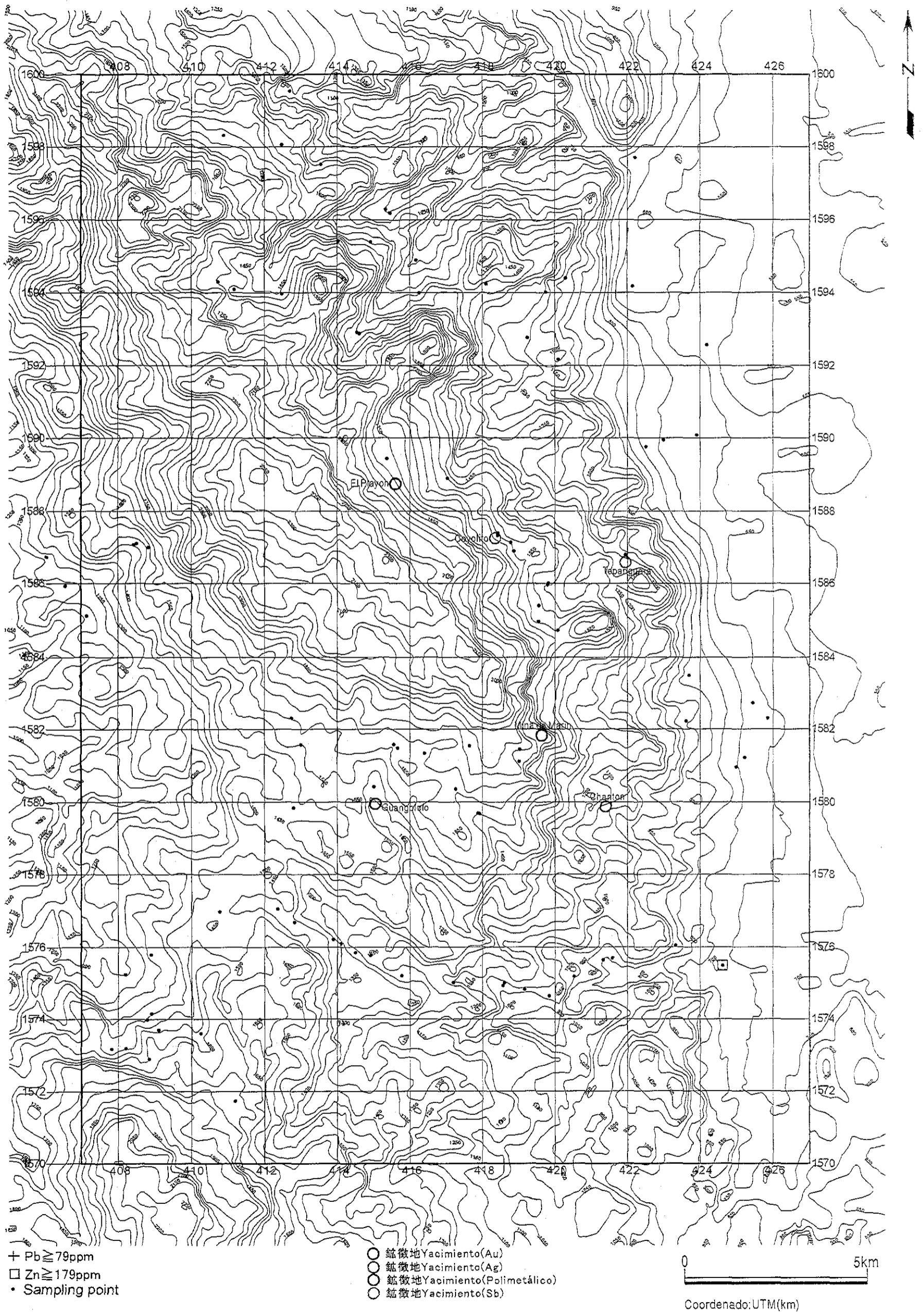
第II-31-1图 Comayagua地区川砂地化探异常值分布图(Au, Ag, As)

Figura II-31-1 Distribución de Anomalías Geoquímicas en Alveos del Sector Comayagua(Au, Ag, As)



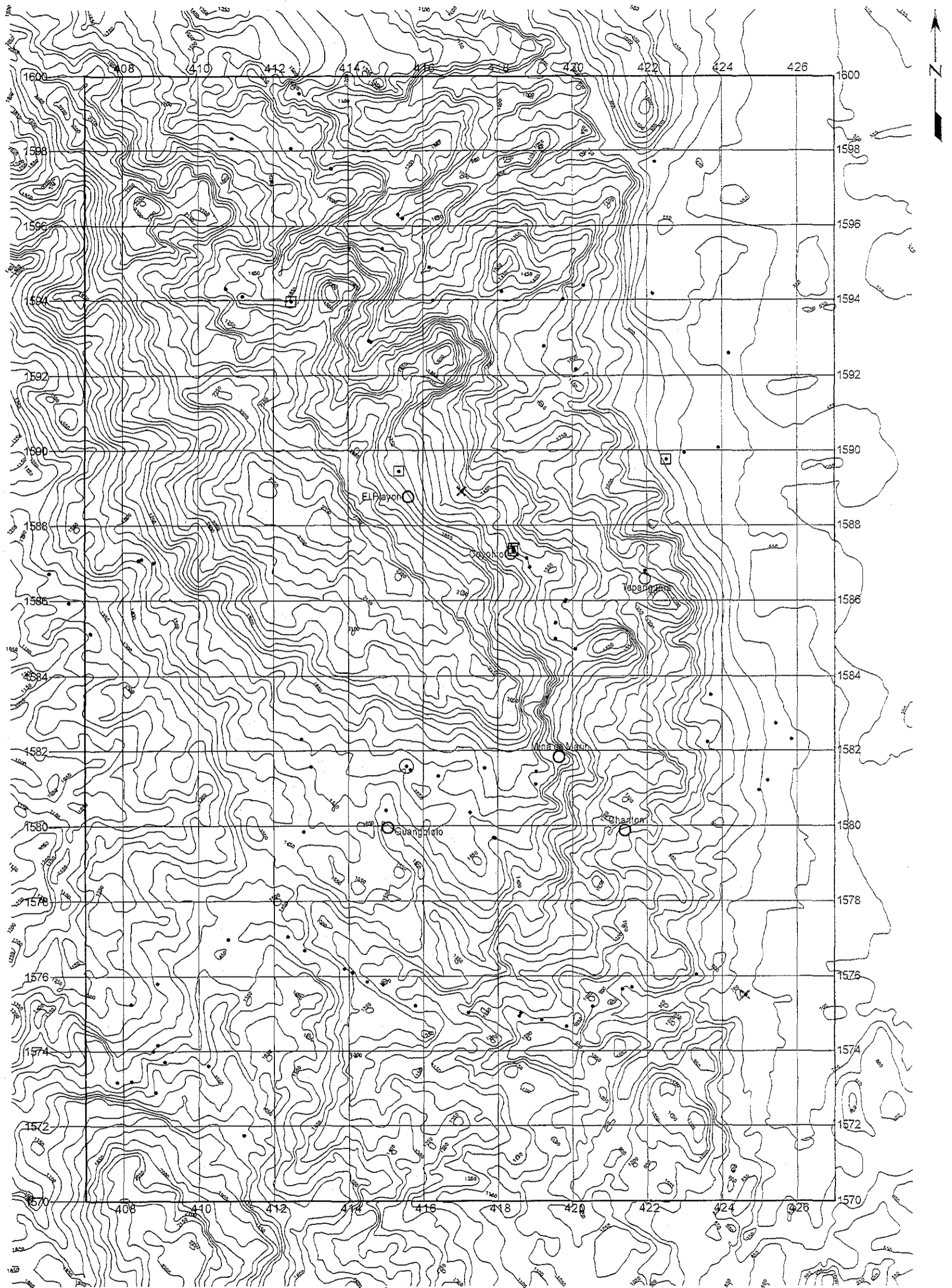
第II-31-2図 Comayagua地区川砂地化探異常値分布図(Cu, Hg, Mo)

Figura II-31-2 Distribución de Anomalías Geoquímicas en Alveos del Sector Comayagua(Cu, Hg, Mo)



第 II-31-3 图 Comayagua地区川砂地化探异常值分布图 (Pb, Zn)

Figura II-31-3 Distribución de Anomalías Geoquímicas en Alveos del Sector Comayagua (Pb, Zn)



- + Factor Score $2 \geq 2$
- × Factor Score $4 \geq 2$
- Factor Score $5 \geq 2$
- Factor Score $6 \geq 2$

- 鉍微地 Yacimiento (Au)
- 鉍微地 Yacimiento (Ag)
- 鉍微地 Yacimiento (Polimetálico)
- 鉍微地 Yacimiento (Sb)
- Sampling point

0 5km
 Coordenado: UTM(km)

第 II-32 图 Comayagua 地区川砂地化探因子得点分布图

Figura II-32 Distribución del Factores de Puntuaciones de Alveos del Sector Comayagua

geoquímicas de rocas aparecen también las anomalías geoquímicas de álveos. En el Cuadro II-5 se muestra las condiciones en que aparecen las anomalías geoquímicas de álveos sobre la zona de anomalías geoquímicas de rocas, y se muestra los valores máximos de los parámetros de análisis (Figura II-32) de los principales elementos (los detalles se citan más adelante) en las zonas anómalas. Aparte de estas anomalías geoquímica de rocas, se estiman 3 lugares con anomalías en oro basado en las anomalías geoquímicas de álveos. En el Cuadro II-6 se muestra estas demarcaciones estimadas.

2-6 Sector Aguanqueterique

2-6-1 Geología (Figuras II-33, 34)

El sector se ubica aproximadamente 50km hacia el sur de Comayagua. Los estratos que se distribuyen son Formación Matagalpa y Grupo Padre Miguel del terciario y estratos aluviales del cuaternario. Como estructuras geológicas presentan la falla de Goascaran hacia el extremo occidental y la falla de Otoro hacia el extremo sur del sector.

【Formación Matagalpa】

Se distribuye ampliamente en todo el sector. Corresponde al oligoceno del terciario. La litofacie presenta principalmente basaltos de coloración gris oscura con roca piroclástica símil y andesitas con roca piroclástica símil. La medición de edad se realizó mediante el método de K-Ar, obteniéndose 10.3 ± 0.3 Ma (mioceno); Sin embargo, debido a la existencia de smectita en las muestras analizadas, se infiere la posibilidad de rejuvenecimiento por esta argilización.

【Grupo Padre Miguel】

Se distribuye ampliamente en todo el sector. Corresponde al mioceno del terciario. La litofacie presenta principalmente dacitas blanquecina, riolitas y rocas piroclásticas ácidas. La medición de edad se realizó mediante el método de K-Ar, obteniéndose 11.0 ± 0.3 Ma (mioceno).

2-6-2 Alteraciones

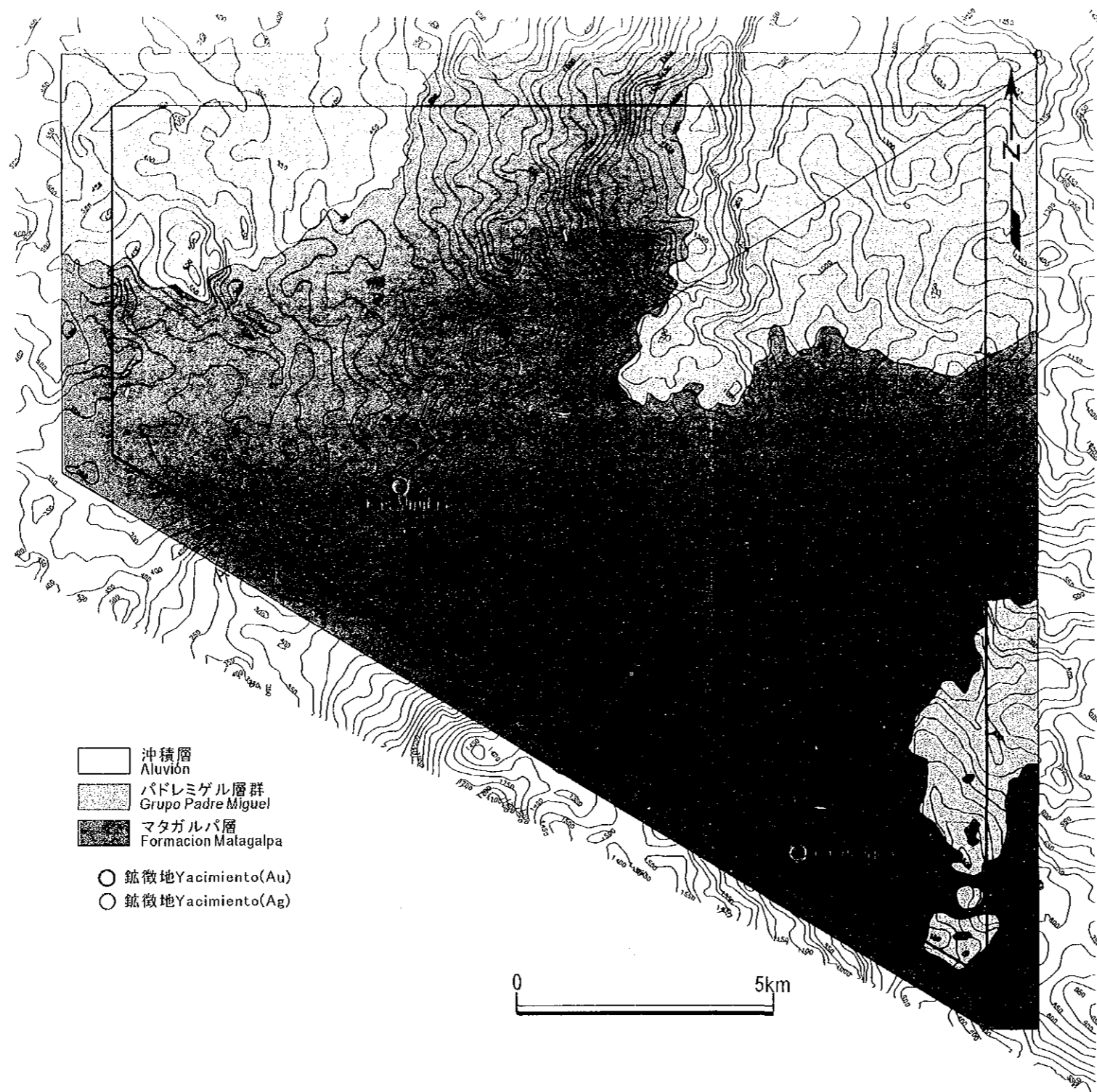
En la ocurrencia Las Minitas se verifica la argilización (sericita).

Fuera de las ocurrencias, en la Formación Matagalpa se verifica aisladamente la argilización (smectita, sericita, ligeramente caolinita), la silicificación (cristobalita) y la alteración de feldespato de potasio.

2-6-3 Mineralizaciones

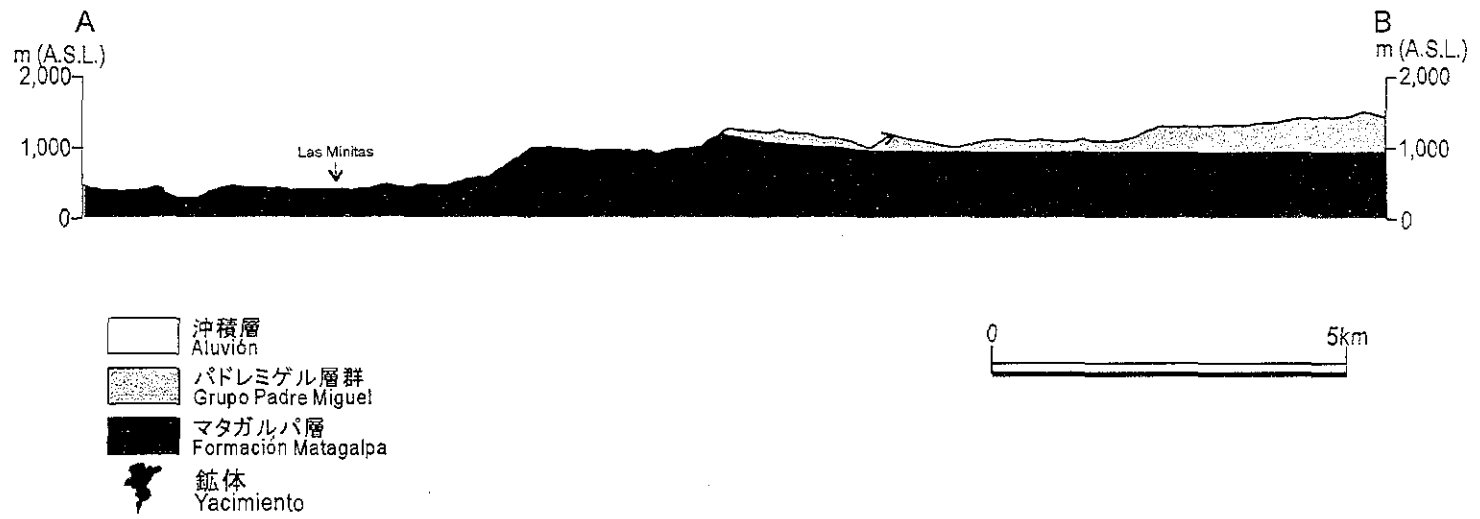
En el sector existen dos ocurrencias: Las Minitas y La Victoriana.

Las Minitas, de acuerdo a la información existente, es un yacimiento aurífero vetiforme de



第II-33図 Aguanqueterique地区地質図及び鉱徴地位置図

Figura II-33 Plano Geológico y Ocurrencias Mineras del Sector Aguanqueterique



第II-34図 Aguanqueterique地区地質断面図

Figura II-34 Sección Transversal del Sector Aguanqueterique

cuarzo que se origina en rocas volcánicas ácidas, sin embargo, se desconocen los detalles.

La Victoriana, de acuerdo a la información existente, es un yacimiento aurífero vetiforme de cuarzo que se origina en la Formación Matagalpa. Los minerales están asociados a la pirita y arsenopirita. Los valores máximos de leyes de son: oro 14.5ppm y plata 225ppm.

2-6-4 Resultados de Prospección Geoquímica

【Rocas】 (Figuras II-35, 36)

En la Figura II-35 se muestra las distribuciones de anomalías. En la figura aparece el agrupamiento de las anomalías geoquímicas. En el Cuadro II-5 se muestra las condiciones en que aparecen las anomalías en estas zonas anómalas, asimismo, las condiciones en que aparecen las anomalías sobre las ocurrencias que se registran en la información existente. Además, en el cuadro se muestra los valores máximos de los parámetros de análisis (Figura II-36) de los principales elementos (los detalles se citan más adelante) en las zonas anómalas.

【Alveos】 (Figuras II-37, 38)

En la Figura II-37 se muestra las distribuciones de anomalías. En la zona de anomalías geoquímicas de rocas aparecen también las anomalías geoquímicas de álveos. En el Cuadro II-5 se muestra las condiciones en que aparecen las anomalías geoquímicas de álveos sobre la zona de anomalías geoquímicas de rocas, y se muestra los valores máximos de los parámetros de análisis (Figura II-38) de los principales elementos (los detalles se citan más adelante) en las zonas anómalas. Aparte de estas anomalías geoquímica de rocas, se estima 1 lugar con anomalías en oro basado en las anomalías geoquímicas de álveos. En el Cuadro II-6 se muestra estas demarcaciones estimadas.

2-7 Sector Marcala

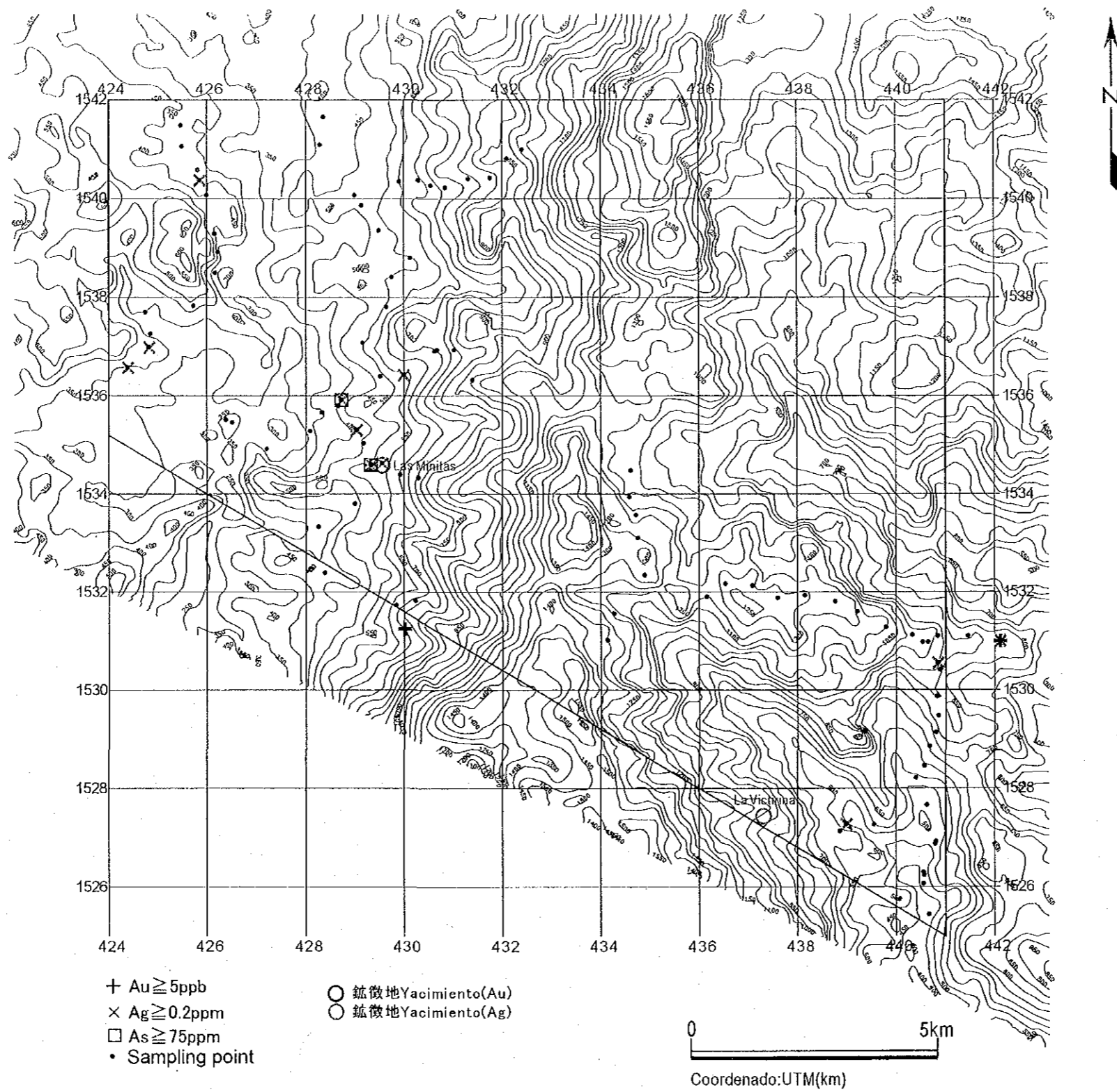
2-7-1 Geología (Figuras II-39, 40)

El sector se ubica aproximadamente 50km hacia el suroeste de Camaguaya. Los estratos que se distribuyen son: Grupo Padre Miguel y estratos aluviales. Existen informaciones citando la presencia de intrusivos de rocas ígneas, sin embargo no se pudieron verificar en el campo.

【Grupo Padre Miguel】

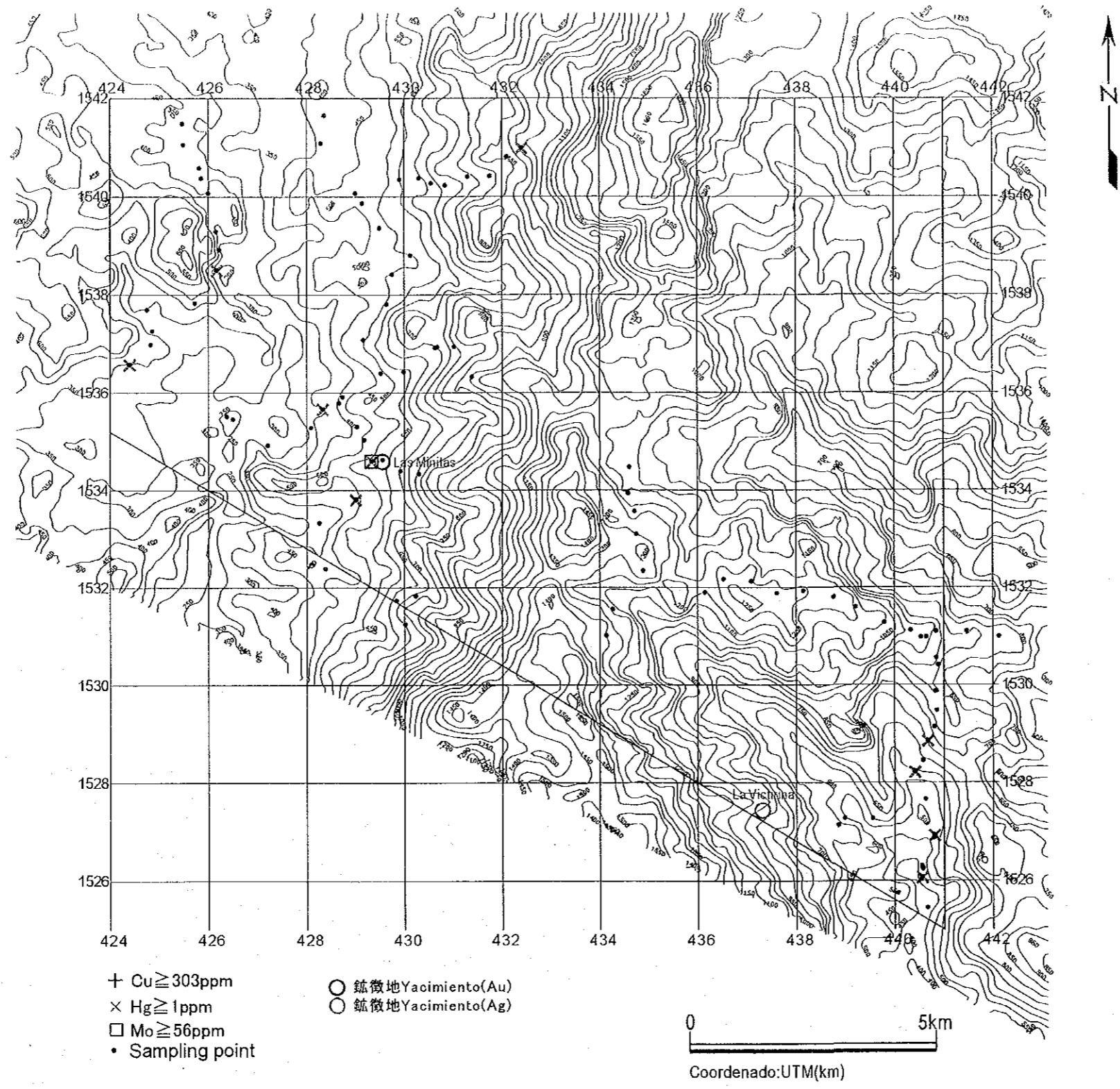
Se distribuye en todo el sector. Corresponde al mioceno del terciario. La litofacie presenta principalmente dacitas y rocas piroclásticas ácidas. Hacia la zona norte del sector se observa perlita.

2-7-2 Alteraciones



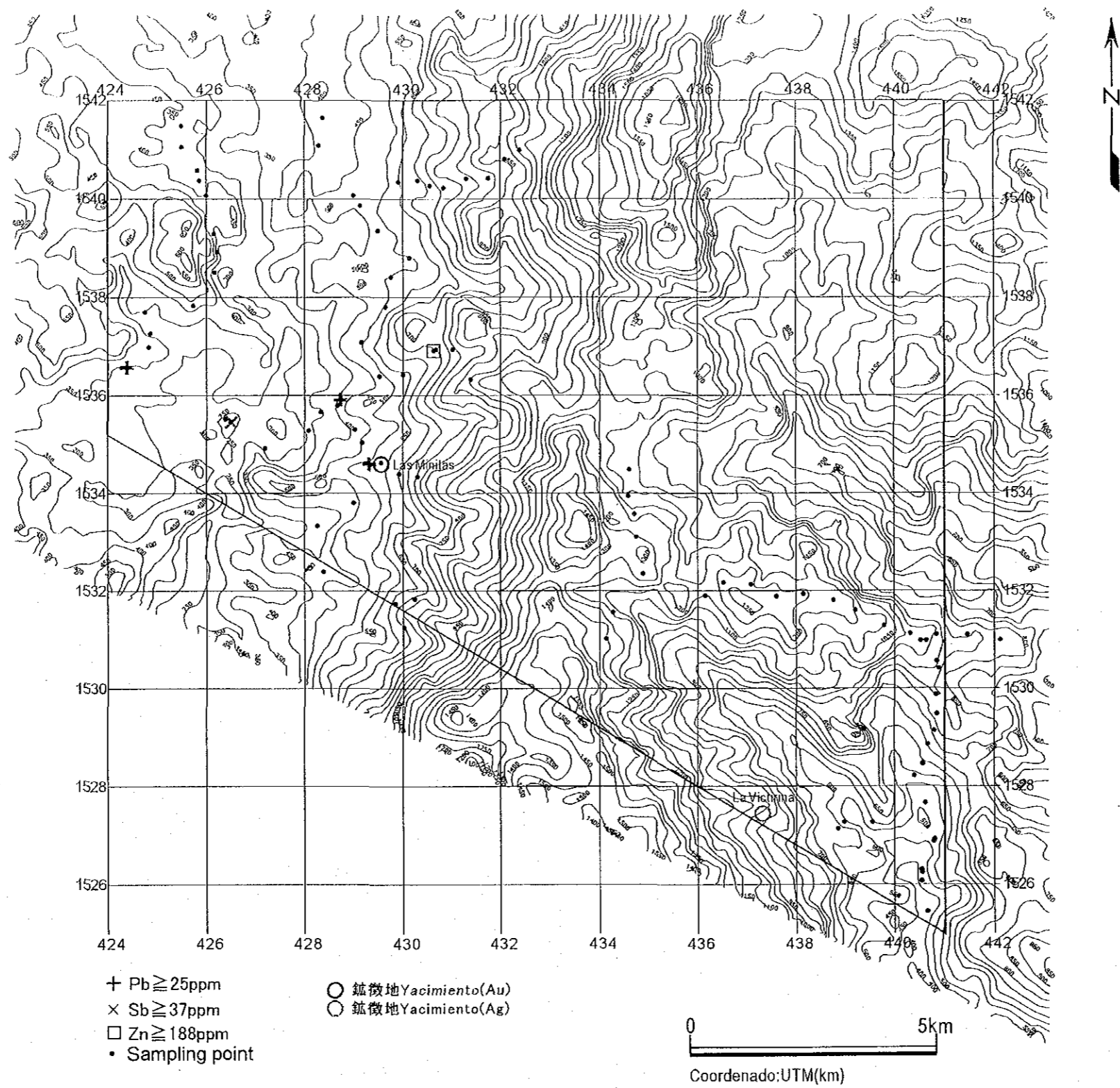
第II-35-1图 Aguanqueterique地区岩石地化探异常值分布图(Au, Ag, As)

Figura II-35-1 Distribución de Anomalías Geoquímicas en Rocas del Sector Aguanqueterique(Au, Ag, As)



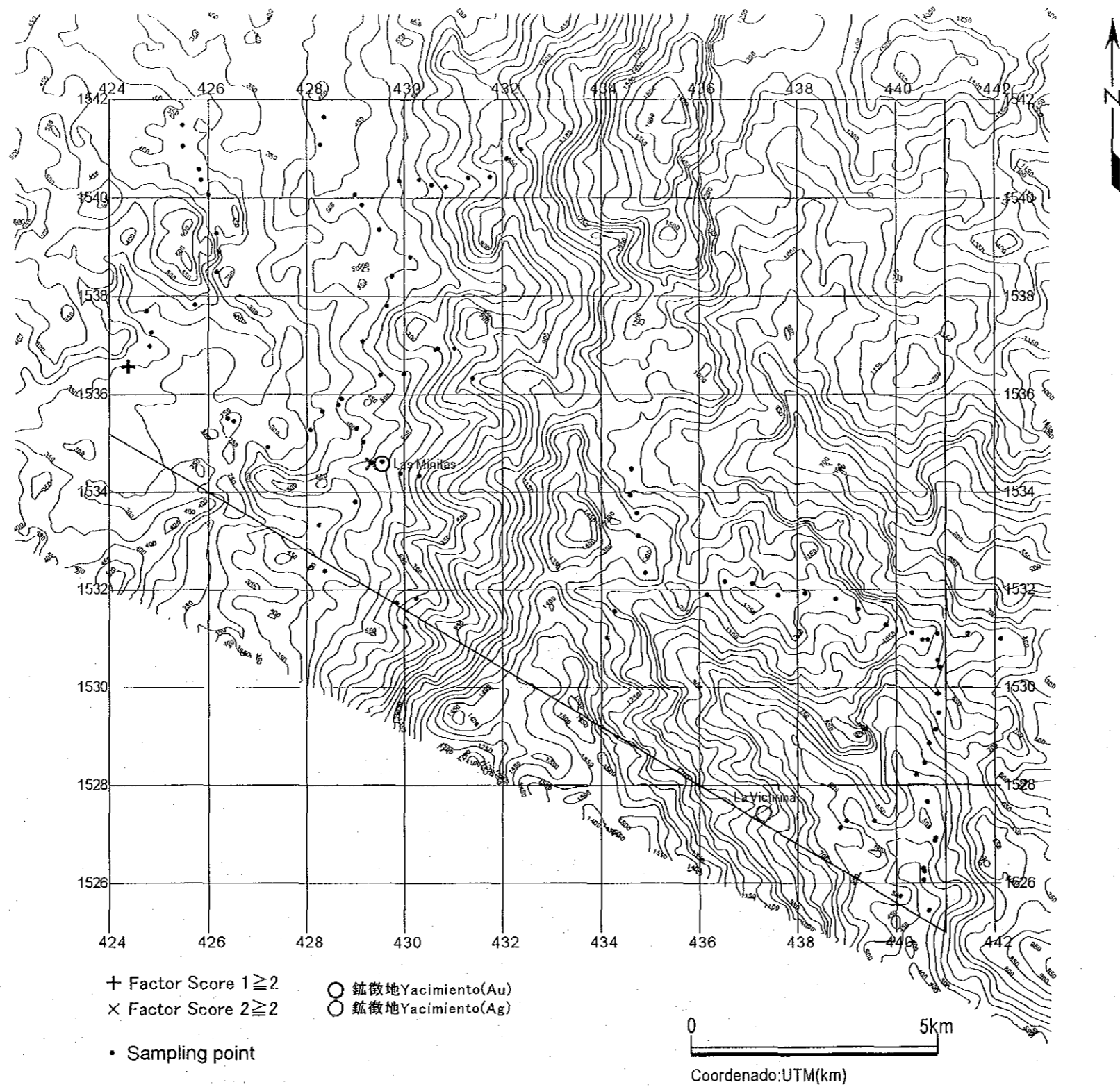
第II-35-2图 Aguanqueterique地区岩石地化探异常值分布图(Cu, Hg, Mo)

Figura II-35-2 Distribución de Anomalías Geoquímicas en Rocas del Sector Aguanqueterique (Cu, Hg, Mo)



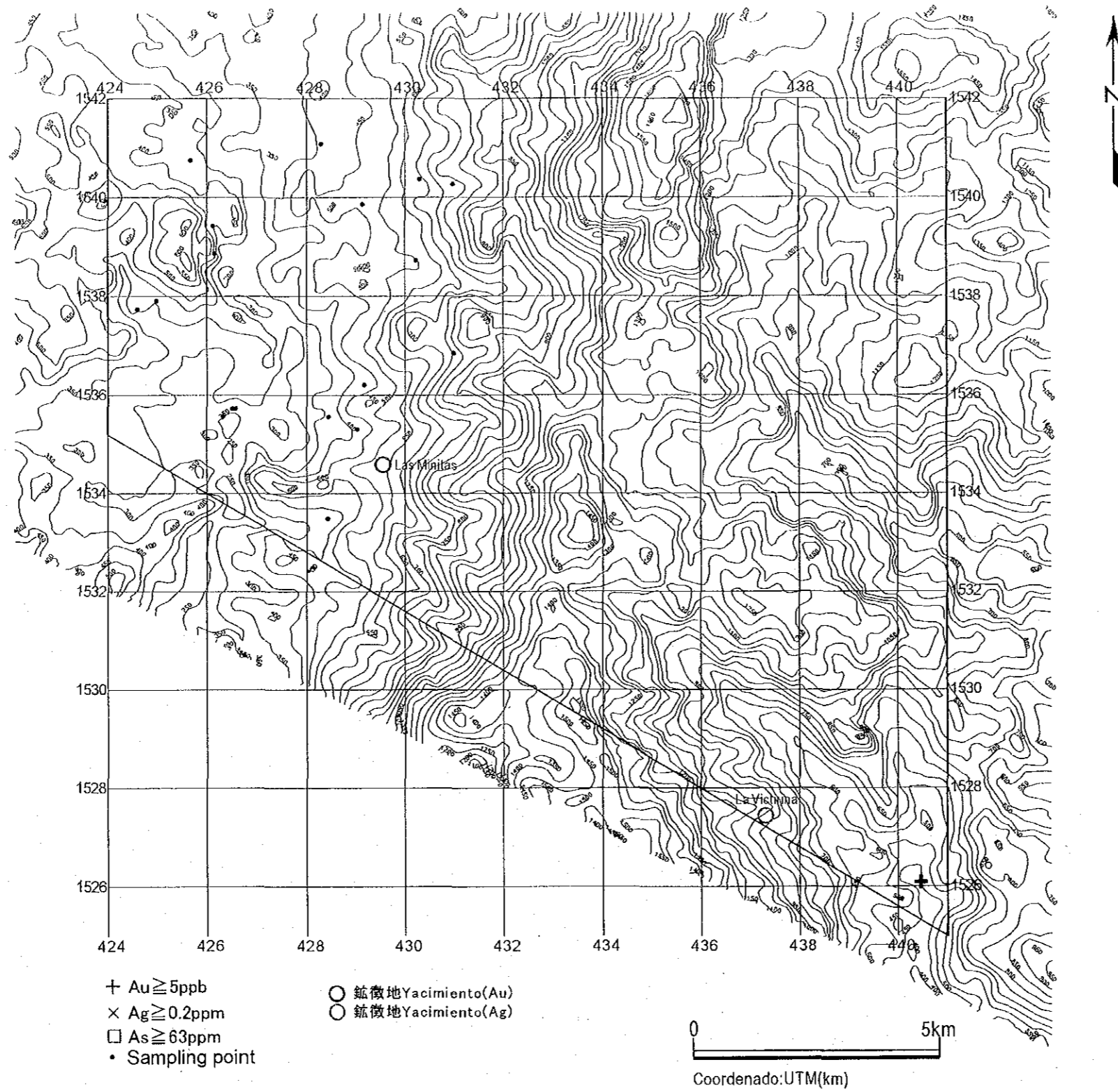
第II-35-3图 Aguanqueterique地区岩石地化探异常值分布图(Pb, Sb, Zn)

Figura II-35-3 Distribución de Anomalías Geoquímicas en Rocas del Sector Aguanqueterique(Pb, Sb, Zn)



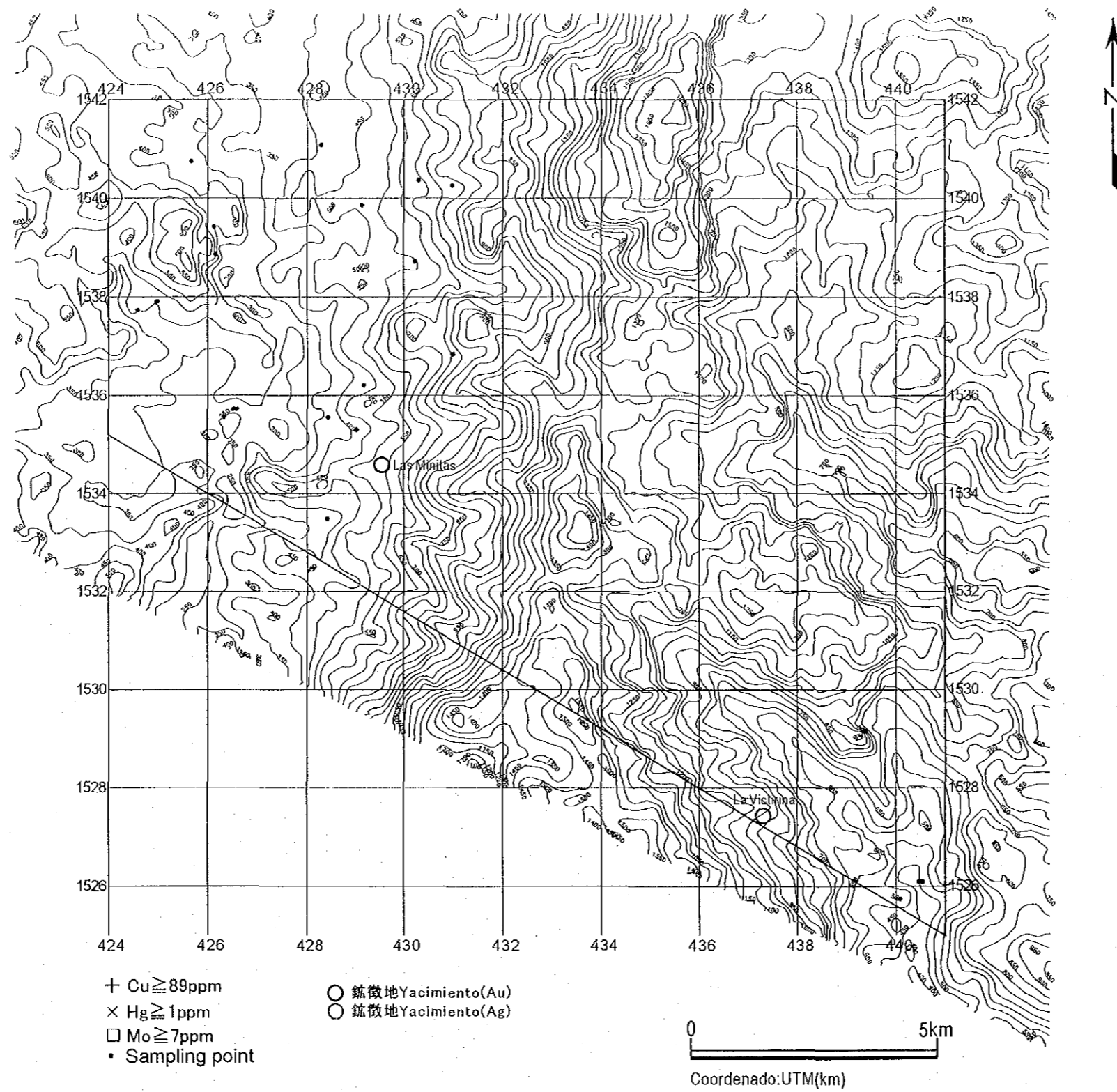
第 II-36 图 Aguanqueterique 地区岩石地化探因子得点分布图

Figura II-36 Distribución del Factores de Puntuaciones de Rocas del Sector Aguanqueterique



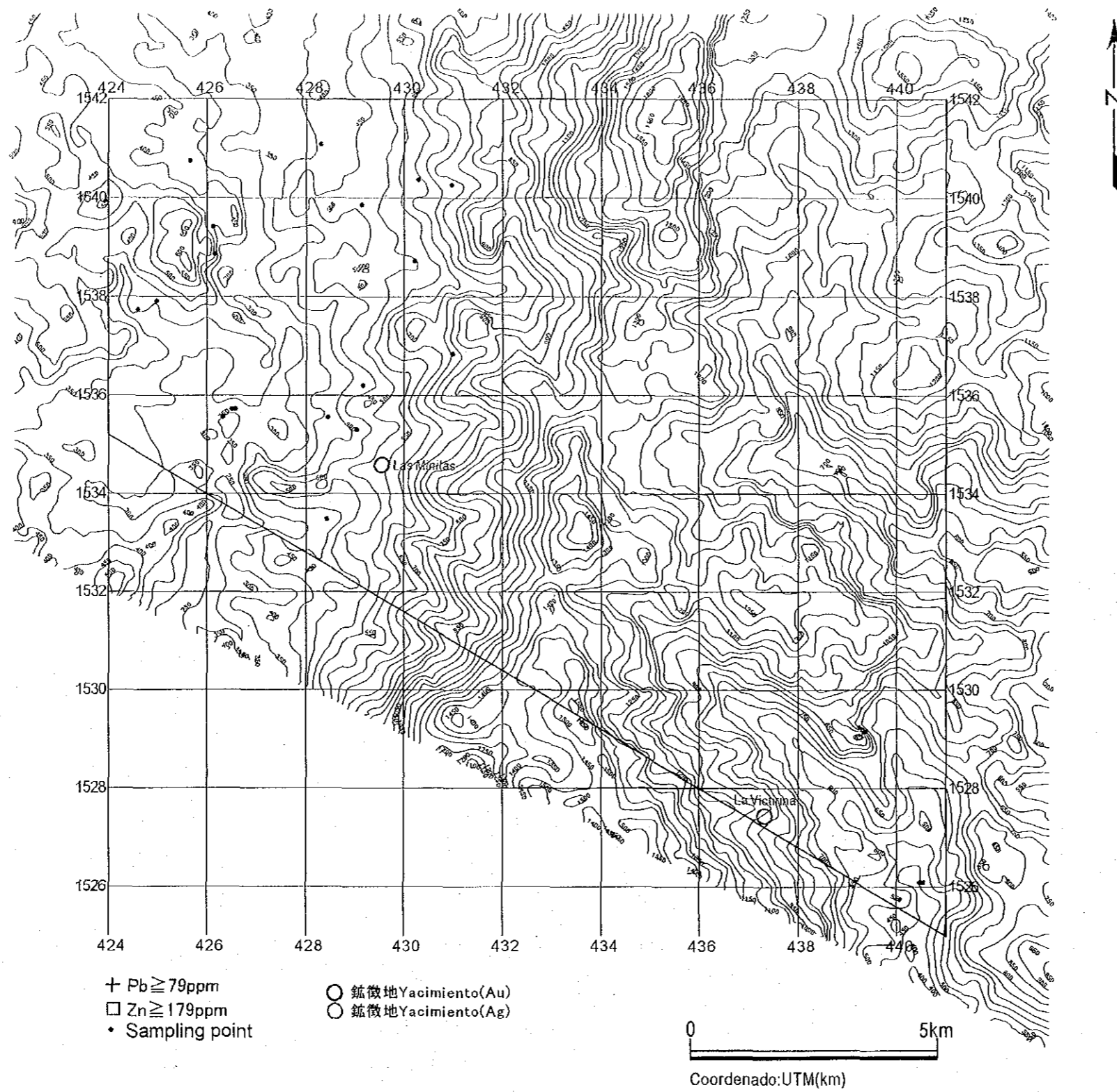
第 II-37-1 图 Aguanqueterique 地区川砂地化探异常值分布图 (Au, Ag, As)

Figura II-37-1 Distribución de Anomalías Geoquímicas en Alveos del Sector Aguanqueterique (Au, Ag, As)



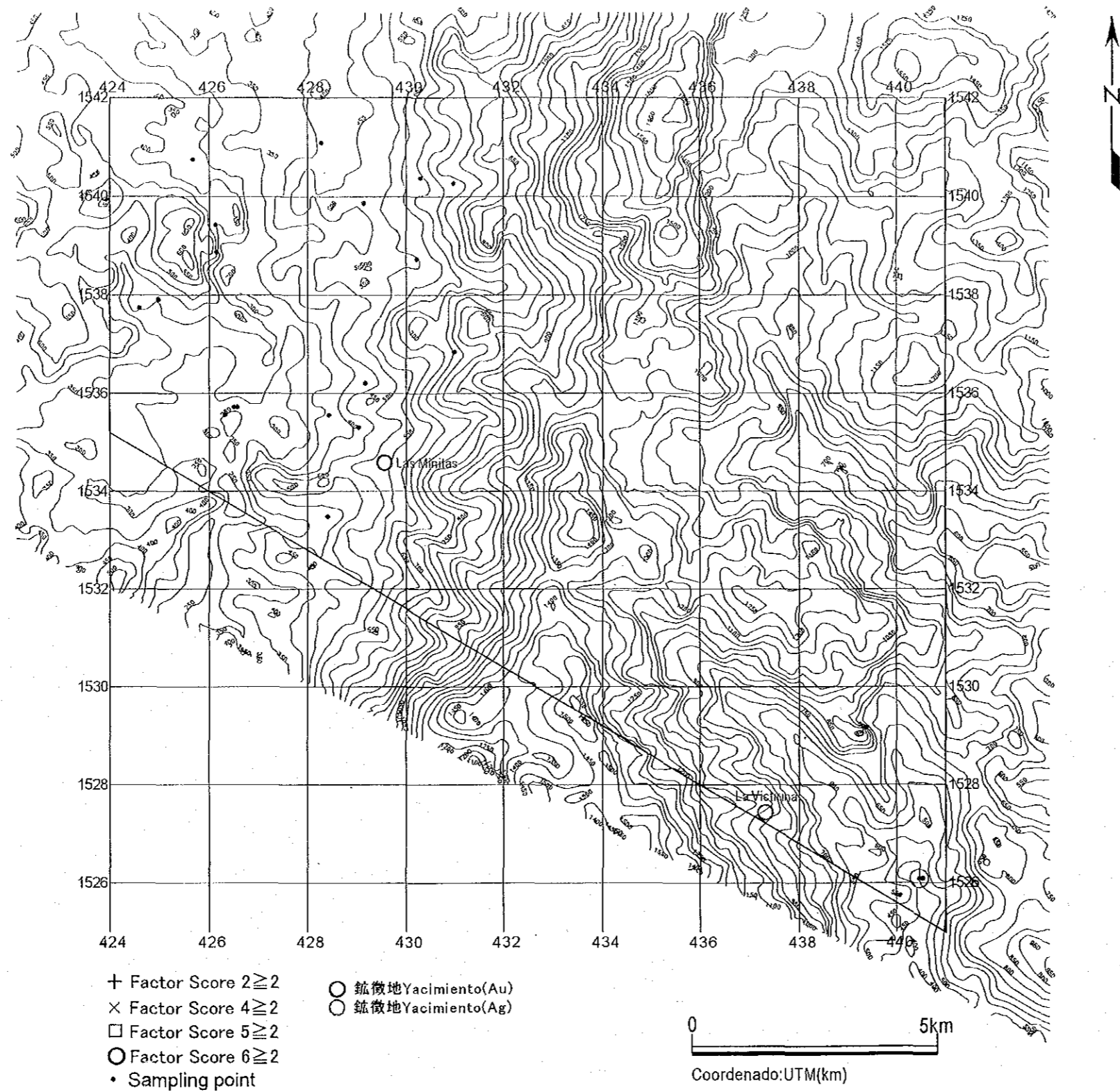
第II-37-2図 Aguanqueterique地区川砂地化探異常値分布図(Cu, Hg, Mo)

Figura II-37-2 Distribución de Anomalías Geoquímicas en Alveos del Sector Aguanqueterique(Cu, Hg, Mo)



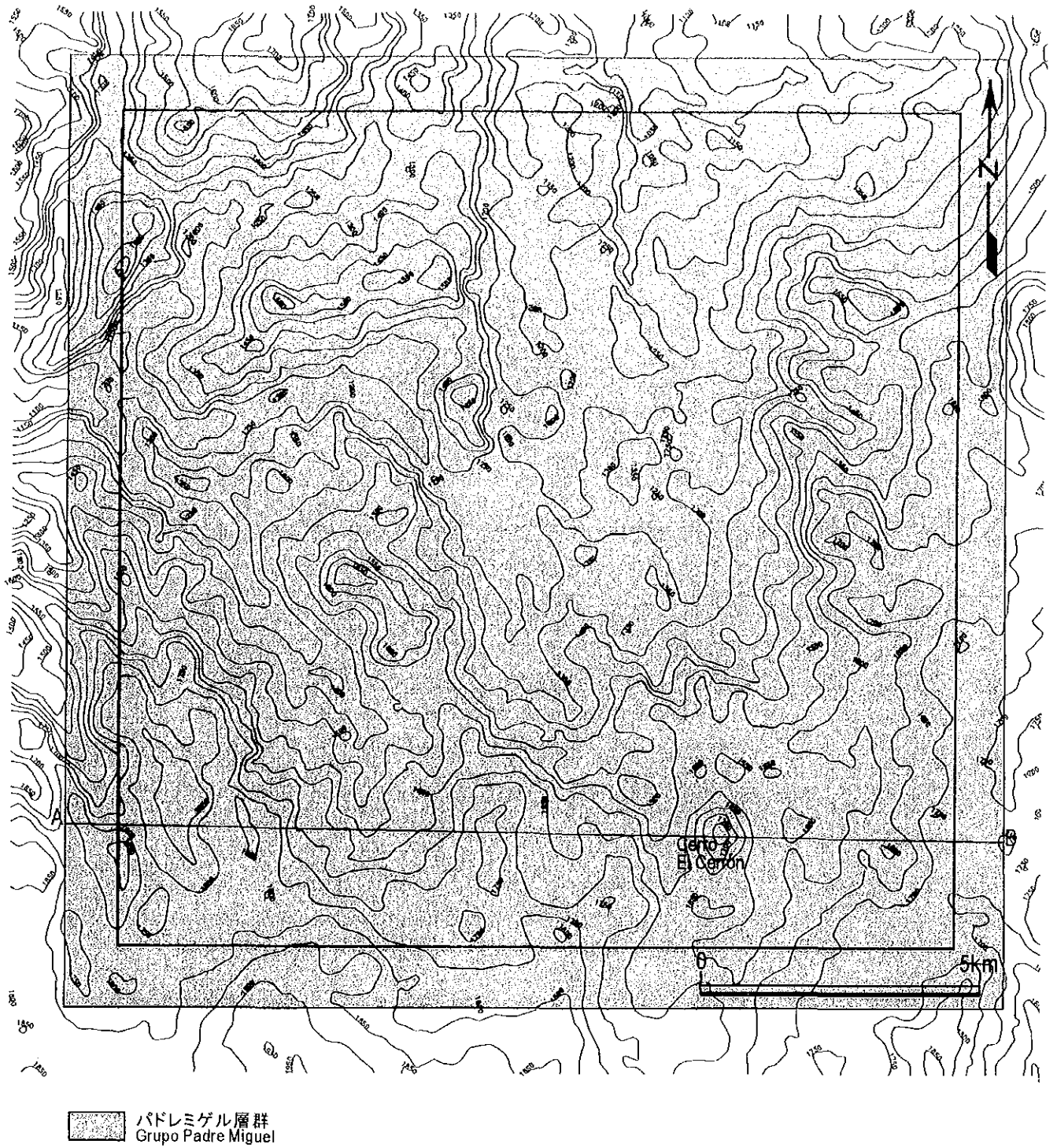
第 II-37-3 图 Aguanqueterique 地区川砂地化探异常值分布图 (Pb, Zn)

Figura II-37-3 Distribución de Anomalías Geoquímicas en Alveos del Sector Aguanqueterique (Pb, Zn)



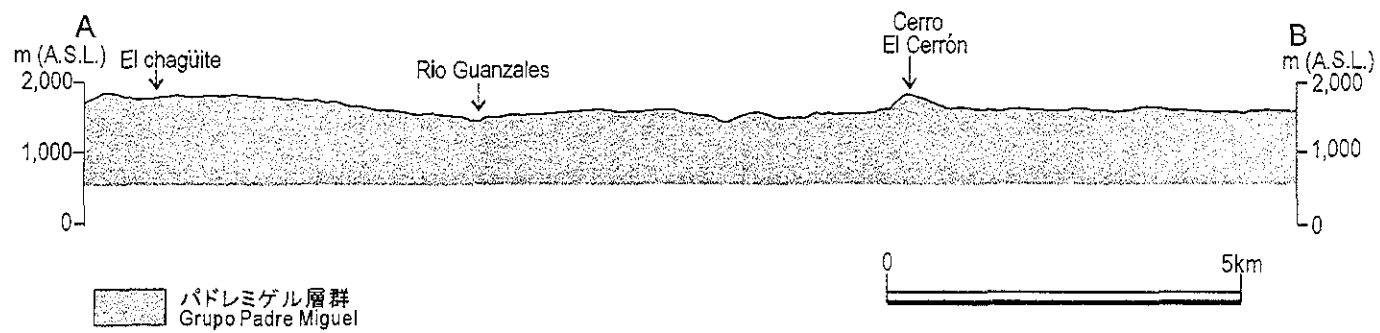
第II-38图 Aguanqueterique地区川砂地化探因子得点分布图

Figura II-38 Distribución del Factores de Puntuaciones de Alveos del Sector Aguanqueterique



第II-39図 Marcala地区地質図及び鉱徴地位置図

Figura II-39 Plano Geológico y Ocurrencias Mineras del Sector Marcala



第II-40図 Marcala地区地質断面図

Figura II-40 Sección Transversal del Sector Marcala